

تحلیل محاسباتی جریان بولاس ادرار در میزنای و مثانه و اعتبارسنجی با استفاده از تصاویر سونوگرافی

بهمن وحیدی^۱ و ناصر فتورائی^{۲*}

۱. گروه مهندسی علوم زیستی، دانشکده علوم و فنون نوین، دانشگاه تهران

۲. آزمایشگاه مکانیک سیالات زیستی، دانشکده مهندسی پزشکی، دانشگاه صنعتی امیرکبیر (پلی تکنیک تهران)

(دریافت مقاله: ۱۳۸۹/۶/۱۰ - دریافت نسخه نهایی: ۱۳۹۰/۲/۱۴)

- چکیده -

واژگان کلیدی :

*: مسئول مکاتبات، پست الکترونیکی: nasser@aut.ac.ir

Computational Analysis of Urine Bolus Flow in the Ureter and Bladder and Experimental Validation Using Sonographic Images

B. Vahidi¹ and N. Fatourae²

1. Department of Life Science Engineering, Faculty of New Sciences & Technologies, University of Tehran, Tehran, Iran

2. Biological Fluid Mechanics Research Laboratory, Biomedical Engineering Faculty, Amirkabir University of Technology, Tehran 15194, Iran

Abstract: A computational model was presented to simulate peristaltic transportation of urine isolated bolus through the ureter. In this model, muscular stimulation was implemented using fluid-structure interaction and contact analysis. Urine drainage to the bladder was analyzed using two methods of numerical simulation and sonographic imaging in the region of bladder near the ureteral orifice. Moreover, pressure distribution in the ureter and dynamic variations of urine back flow during peristalsis were investigated. The results indicated that when urine bolus reached near the bladder, the maximum magnitude of urine pressure in the ureter increased up to nearly 5 times the ureteral inlet pressure. The average magnitude of urine flow rate computed from velocity profile in ureteral outlet during urine drainage was 2.267 ml/min.

Keywords: Peristalsis, Urine bolus, Reflux, Hyperelastic model, Computational fluid dynamics, Sonography.

بردار سرعت سیال	v	بردار تغییر مکان	d
سرعت سیال در راستای m/s	y = v ₂	نرخ برش در صفحه تقارن	e
مختصه شعاعی در دستگاه مختصات استوانه‌ای	y	نیروهای حجمی در واحد حجم سیال N/m ³	f ^B
دماي مطلق	θ	تانسور یکه	I
لزجت ثانویه سیال kg/m-s	λ	ثابت بولترمن	K
کشیدگی قفل شدنی λ _m		مدول بالک سیال	k
مدول برشی اولیه (۴) N/m ²	μ	چگالی زنجیره در مدل ارودا-بویس	N
لزجت دینامیکی ادرار μ ₀		تعداد اتصالات در هر زنجیره در مدل ارودا-بویس	n
تانسور تنش سیال τ _r		بردار واحد عمود بر سطح	n
چگالی مبنای سیال ρ		فشار سیال	P
چگالی سیال تراکم پذیر ρ _m		سرعت متوسط جت ادرار درون مثانه	T _{AV}
تانسور تنش جامد τ _s		زمان	t
زاویه در دستگاه مختصات استوانه‌ای φ(x,y)		سرعت بیشینه جت ادرار درون مثانه	V ₁

پشت سرهم در طول یک مجرای انعطاف‌پذیر (میزنانی) ایجاد می‌شود. این حرکت، علاوه بر میزنانی، عامل انفعالات حیاتی زیادی در اندامهای بدن انسان است که انتقال سیالات زیستی را در برابر می‌گیرند. سازوکار دودی‌شکل در میزنانی، انتقال ادرار از

۱- مقدمه

بررسی مکانیک سیستم دفع ادرار نقش به سزایی در شناخت سازوکارهای حیاتی این سیستم در بدن انسان در شرایط سالم و بیمار دارد. سازوکار دودی‌شکل از انقباضهای

- شكل در میزنانی گزارش شده است [۹-۷] که عبارت اند از:
- ۱) جریان بولاس ایزوله^۴ (بولاس به مقدار معینی از ادرار که هر بار در اثر موج دودی شکل جابه‌جا می‌شود، گفته می‌شود).
 - ۲) جریان بولاسهای در تماس^۵
 - ۳) جریان بولاسهای نشت کننده^۶
 - ۴) جریان لوله باز^۷

یافته‌های بالینی اولسن [۸] نشان داد که در شرایط کارکرد طبیعی میزنانی انسان، سازوکار غالب انتقال ادرار از طریق امواج دودی شکل تحت رژیم انتقال بولاس ایزوله ادرار صورت می‌گیرد و سازوکارهای دیگر، تنها در شرایط فیزیولوژیک خاصی که دبی ادرار بیشتری انتقال می‌یابد، اتفاق می‌افتد [۱۰].
وحیدی و فتورائی [۱۱] مدلی دو بعدی از جریان ادرار از کلیه به مثانه ارائه کردند. در آن مدل، فرض شد که یک دیواره الاستیک در راستای طولی بین دو صفحه صلب حرکت می‌کند. مهمترین محدودیت آن تحقیق، عدم اعمال تحریک سلول به سلول دیواره میزنانی در طی حرکت دودی شکل است که در شرایط فیزیولوژیکی اتفاق می‌افتد [۴]. پس از آن، وحیدی و همکاران [۱۲-۱۴] مدل‌هایی متقاضن محوری مربوط به شرایط جریان لوله باز در میزنانی را با استفاده از داده‌های واقعی میزنانی ارائه کردند که در آن، این محدودیت را بر طرف و تأثیر پارامترهای مکانیکی مختلف را بر توزیع جریان در میزنانی و تنش در جداره داخلی آن بررسی کردند. در آن مطالعات، مدل‌های الاستیک خطی برای دیواره استفاده شد که فرض ساده کننده‌ای محسوب می‌شود. در تحقیق حاضر، این محدودیت را بر طرف کرده‌ایم؛ بدین گونه که با استفاده از داده‌های آزمایشگاهی، ویژگیهای مکانیکی دیواره میزنانی را با استفاده از یک مدل غیرخطی به‌طور نسبتاً دقیقی لحظ و عبور بولاس ایزوله ادراری را در یک مجرای تقریباً جمع شده^۸ با استفاده از اندازه‌های دقیقی که از مطالعات ریخت سنجی^۹ و آناتومیکی میزنانی [۱۵] به‌دست آمده است، شبیه‌سازی کرده‌ایم. به علاوه، از نوآوریهای این تحقیق، مدل‌سازی مثانه و بررسی عددی جریان ادرار تخلیه شونده به آن در اثر سازوکار دودی شکل

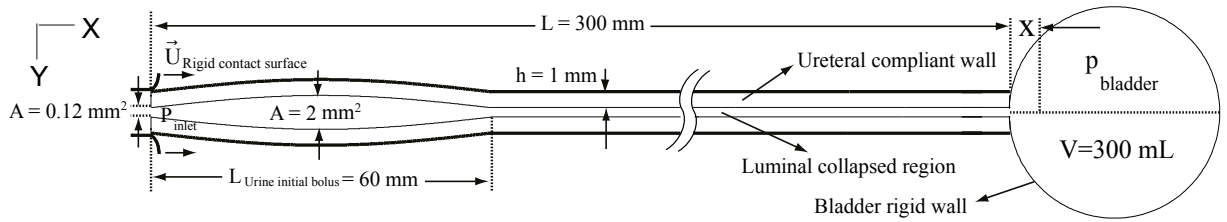
کلیه به مثانه را تسهیل می‌کند. این سازوکار از زمان آغاز تحقیقات در زمینه حرکت دودی شکل، یکی از موضوعات مهم مورد بررسی بوده است [۱-۳]. با این وجود و با توجه به تحقیقات گسترده در این زمینه، سازوکار پدیده دودی شکل در میزنانی به‌طور کامل درک نشده است و هنوز جزو مسائل در دست تحقیق است.

سازوکار دودی شکل در میزنانی به این صورت است که تحریک الکتریکی دیواره، موج انقباضی ایجاد می‌کند که به‌طور پیوسته و سلول به سلول^۱ از محل تحریک به‌سمت مثانه منتشر می‌شود [۴]. در یک میزنانی سالم، حرکت دودی شکل یکتا پنج بار در دقیقه اتفاق می‌افتد. زمانی که انقباضهای دودی شکل در میزنانی وجود ندارد (در بازه‌های زمانی بین دو تحریک توسط انقباض ساز)، میزنانی به‌صورت مجرایی نافعال عمل می‌کند که در آن جریان ادرار به‌صورت پایا وجود دارد [۲]. شایان ذکر است که انتقال ادرار در میزنانی تنها در اثر حرکت دودی شکل صورت نمی‌گیرد و به اختلاف فشار بین لگنجه‌های کلیوی و مثانه نیز بستگی دارد [۳]. جریان غیر عادی ادرار از مثانه به میزنانی و احتمالاً به کلیه‌ها، رفلکس^۳ نامیده می‌شود. در موارد شدید این عارضه، رفلکس می‌تواند باعث انتقال مواد سمی و باکتریها از مثانه به کلیه و ایجاد عفونت و اختلال در عملکرد کلیه شود [۳] که در این صورت، دیالیز یا پیوند کلیه اجتناب ناپذیر است [۵].

کارکرد فیزیولوژیک میزنانی که نرخ انقباض ماهیچه صاف را دربر می‌گیرد، بسیار پیچیده است و به این سبب، ماهیچه صاف میزنانی تاکنون به‌طور دقیق مدل‌سازی نشده است [۶]. سه فاکتور تأثیرگذار در نرخ انقباض ماهیچه صاف عبارت اند از:

- ۱) نیرویی که باعث انقباض ماهیچه‌ای می‌شود که به‌طور عمده از نیروهای هیدرودینامیکی (لزجی) تشکیل می‌شود که برای به حرکت درآوردن ادرار مورد نیاز است؛
- ۲) هندسه دینامیکی میزنانی
- ۳) شرایط تحریک آن.

در حالت کلی، چهار نوع رژیم جریان در حین سازوکار دودی



شکل ۱- هندسه مدل محاسباتی میزنا و مثانه. در این شکل، سطح تماس صلب که با سرعت ثابت $U_{Rigid\ contact\ surface}$ به سمت مثانه حرکت می‌کند، باعث ایجاد موج انقباضی در دیواره میزنا شده است. بولاس ادرار اولیه که در شرایط فیزیولوژیکی، پیش از شروع موج تحریک در ابتدای مثانه ایجاد می‌شود، در شکل نمایان است. مدل به صورت متقارن محوری ساخته شده است ولی در این شکل برای نمایش بهتر، به صورت کامل نشان داده شده است. \times ، فاصله محوری از انتهای میزنا به سمت مثانه است.

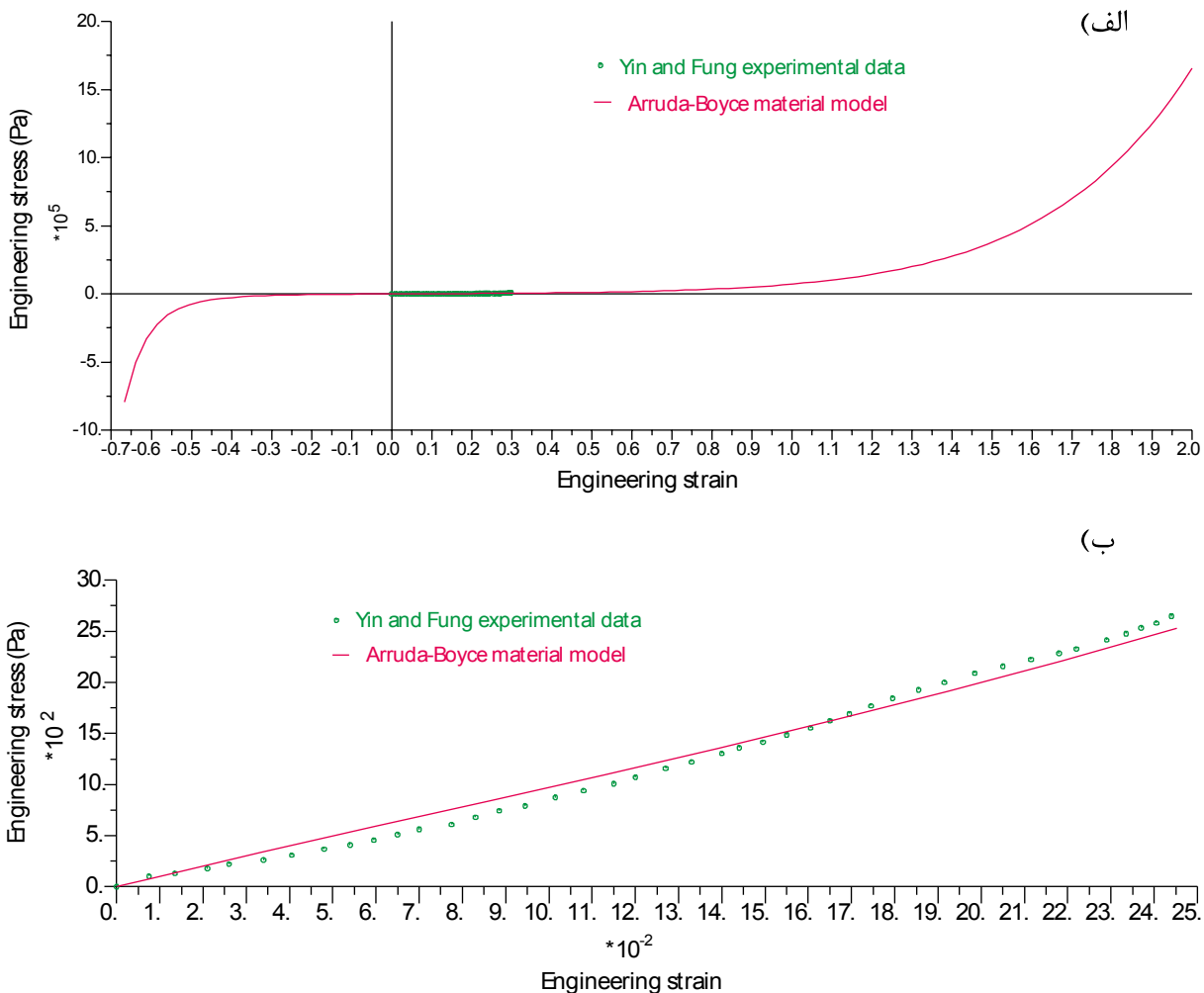
دستگاههای سونوگرافی موجود در گرفتن تصاویر بولاس ادرار در شرایط مثانه خالی یا نیمه پر دارای محدودیت‌اند. از آنجا که مجاري زیستی از لحاظ هندسی و نیز خواص مادی، بسیار غیرخطی‌اند، اثر ابعاد مدل هندسی (دو یا سه بعدی) در نتایج مدل‌های اجزای محدود بدیهی به نظر می‌رسد. از این رو، یکی از مزایای عمدۀ مدل محاسباتی حاضر در مقایسه با مدل‌های متعدد دو بعدی محققان قبلی [۱۱، ۱۶ و ۱۹]، متقارن محوری فرض شدن مدل در این تحقیق است که گام مهمی در مدل‌سازی سه بعدی میزنا به شمار می‌آید و همچنین این امکان را فراهم می‌کند تا بتوان از چنین مدل هندسی در تحلیل سازوکارهای مشابه زیستی شامل مجاري جمع شونده نیز بهره برد.

۲-۱- مدل مادی دیواره میزنا و شرایط مرزی مدل
دیواره میزنا بسیار انعطاف‌پذیر است و مدل مکانیکی مناسب برای آن باید این ویژگی را دربر داشته باشد. یکی از این مدل‌ها، مدل غیرخطی ابرالاستیک است. در این مطالعه، از مدل ارودا-بویس^{۱۱} برای دیواره میزنا استفاده شد. این مدل غیر گوسی^{۱۲}، ماده جامد را به صورت شبکه مولکولی هشت زنجیری فرض می‌کند. آزمایشات عددی بسیاری نشان داده است که این مدل برای موادی که تحت کرنشهای بزرگ تا ۳۰٪ قرار می‌گیرند، مناسب است [۲۱]. همچنین این مدل حتی با داده‌های آزمایشگاهی محدود، تطابق خوبی را فراهم

است. در نهایت، اعتبار سنجی مدل‌های عددی با استفاده از داده‌های سرعت به دست آمده از تصاویر سونوگرافی در لحظات تخلیه ادرار به مثانه صورت می‌گیرد.

۲- معادلات حاکم، مواد و روشها

هدف اصلی این تحقیق، فراهم آوردن مدلی عددی است که سازوکار معمول و طبیعت پیچیده انتقال دودی شکل ادرار از کلیه به مثانه را با دقت بیشتری نسبت به تحقیقات قبلی [۱۴-۹] شبیه‌سازی می‌کند. به این منظور، از داده‌های مورفومتریک ناحیه لومینال^{۱۰} میزنا در حین سازوکار دودی شکل [۱۵] در ساختن مدل هندسی اولیه استفاده شده است. هندسه اولیه مدل ارائه شده (پیش از تحریک دودی شکل) در شکل (۱) نشان داده شده است. بولاس ادراری اولیه تشکیل یافته در نواحی ابتدایی میزنا به طول ۶ سانتی‌متر در این شکل نمایان است. طول کلی میزنا در انسانهای بالغ در حدود ۳۰ سانتی‌متر است که در این مطالعه فرض شده است [۱۶]. نسبت بین مقاطع داخلی مجرأ در نواحی قله بولاس دوکی شکل و نواحی جمع شده میزنا، ۱۶/۷ فرض شده است که بر مبنای اندازه‌گیریهای بالینی از یک میزنا زنده در حین سازوکار دودی شکل بوده است [۱۵]. در این مدل، مثانه به صورت مخزنی کروی با حجم ۳۰۰ میلی‌لیتر فرض شده است که معادل حجم پر مثانه است [۱۷]. گزینش حجم پر مثانه در مدل محاسباتی به دلیل مقایسه نتایج حل عددی با داده‌های بالینی حاصل از سونوگرافی است. زیرا



شکل ۲- منحنی تنش-کرنش مهندسی حاصل از آزمون کشش ساده دیواره میزانی [۲۰]. مدل غیرخطی ارودا-بویس از داده‌های آزمایشگاهی بین و فانگ [۲۰] در نرم افزار ادینا برآش شده است؛ (الف) محدوده کامل رابطه تنش-کرنش در شرایط فشار و کشش با تقریب مورد استفاده در نرم افزار ادینا از مدل غیرخطی مورد نظر، (ب) منحنی حاصل از برآش مدل ارودا-بویس با مقادیر نقطه‌ای در محدوده داده‌های آزمایشگاهی در نرم افزار ادینا.

$$\lambda_{chain} = \left(\frac{1}{3} I_1\right)^{\frac{1}{2}} \quad (2)$$

$$\beta_{chain} = L^{-1} \left(\frac{\lambda_{chain}}{\sqrt{n}} \right) \quad (3)$$

برای اعمال معادله فوق در تحلیل عددی،تابع دانسیته انرژی کرنشی فوق به صورت زیر به شکل نمایی تبدیل می‌شود:

$$w_{8ch} = \mu \sum_{i=1}^n \left[\frac{C_i}{\lambda_m^{2i-2}} (I_1^i - 3) \right] \quad (4)$$

می‌کند [۲۲]. لذا داده‌های آزمایشگاهی حائز ویژگیهای مکانیکی میزانی از نتیجه تحقیقات بین و فانگ [۲۰] به این مدل مادی (ارودا-بویس) در نرم افزار ادینا برآش شد، شکل (۲).

رفتار مکانیکی مواد لاستیکی^{۱۳} با تابع دانسیته انرژی کرنشی w نشان داده می‌شود [۲۶-۲۳] که روابط تنش-کرنش از آن به دست می‌آید. تابع دانسیته انرژی کرنشی مدل ارودا-بویس با استفاده از مکانیک آماری^{۱۴} به صورت زیر است:

$$w_{8ch} = \frac{NK\theta}{2} \left[\beta_{chain} \lambda_{chain} + \sqrt{n} \ln \left(\frac{\beta_{chain}}{\sinh \beta_{chain}} \right) \right] \quad (1)$$

حاکم به جز معادله پیوستگی، چگالی ثابت ρ فرض شد. شکل ناپایستار معادله پیوستگی در جریانهای تا حدی تراکم‌پذیر:

متقارن محوری به صورت زیر است:

$$\frac{y\rho}{k} \left(\frac{\partial p}{\partial t} + v \cdot \nabla p \right) + \rho_m \nabla \cdot (y v) = 0 \quad (7)$$

که y مختصه شعاعی در دستگاه مختصات استوانهای و v بردار سرعت سیال است. معادله اندازه حرکت سیال تراکم‌ناپذیر در اینجا همچنان برقرار است و شکل ناپایستار این معادله در مدل متقارن محوری به صورت زیر است:

$$y\rho \frac{\partial v}{\partial t} + y\rho v \cdot \nabla v - \nabla \cdot (y \tau_a) = y f^B + f_a \quad (8)$$

$$f_a = \frac{\partial}{\partial \phi} [\tau \cdot e_\phi] = -e_2 \left[-p + \frac{\lambda}{y} \nabla \cdot (y v) + 2\mu_0 \frac{v_2}{y} \right] \quad (9)$$

$$\tau_f = \tau_a + \Delta \tau_a \quad (10)$$

$$\tau_a = \left[-p + \frac{\lambda}{y} \nabla \cdot (y v) \right] I + 2\mu_0 e_a \quad (11)$$

$$\Delta \tau_a = 2\mu_0 \Delta e_a \quad (12)$$

$$\Delta e_a = e_\phi e_\phi \frac{v_2}{y} \quad (13)$$

$$e = e_a + \Delta e_a \quad (14)$$

$$e_a = \frac{1}{2} (\nabla v + \nabla v^T) \quad (15)$$

در این معادله‌ها، e نرخ برش در صفحه تقاضن است و φ در دستگاه مختصات استوانهای (y , φ و x) تعریف می‌شود. f^B نیروهای حجمی در واحد حجم سیال است که در اینجا صفر است. μ_0 , τ , λ و v_2 به ترتیب لزجت دینامیکی ادرار، تانسور تنش سیال، تانسور یکه^{۱۹}، لزجت ثانویه^{۲۰} سیال و سرعت سیال در راستای y هستند.

شرط عدم لغزش و عدم نفوذ بین سیال و دیواره اعمال شد. چگالی مبنای (ρ) و لزجت دینامیکی (μ_0) ادرار به ترتیب 1050 kg/m^3 و $1/3 \text{ cP}$ درنظر گرفته شده است. مدلی عددی با شرایط فشار ورودی (کلیه) 100 و خروجی (مثانه) 5 پاسکال فراهم شد که این اختلاف فشار در محدودهای نزدیک به سطح فشار ثابت فیزیولوژیکی میزانی (11 تا 6 میلی‌متر جیوه) [۱۶] واقع است.

تقریب مرتبه پنجم این عبارت که دارای دقت مناسبی است به صورت زیر است:

$$w_{8ch} = \mu \sum_{i=1}^5 \left[\frac{C_i}{\lambda_m^{2i-2}} (I_1^i - 3) \right] \quad (5)$$

$$C_1 = 0/0$$

$$C_2 = 0/05$$

$$C_3 = 0/01047$$

$$C_4 = 0/00269$$

$$C_5 = 0/00077$$

که در این معادله‌ها، μ مدول برشی اولیه و λ_m کشیدگی قفل شدنی^{۱۷} است. برای توضیحات تفصیلی در خصوص این مدل، به تحقیقات ارودا و بویس رجوع شود [۲۱].

در مدل جامد، به عنوان قیود، خطوط ابتدایی و انتهایی دیواره جامد میزانی ثابت درنظر گرفته شد. همچنین شرایط مرزی برهمکنش سیال و جامد بر روی فصل مشترک سیال و جامد (میزانی - ادرار) اعمال شد. دیواره مثانه صلب فرض شد؛ به این صورت که در مدل سیال، شرط دیوار در مرز بیرونی مثانه اعمال شد.

۲-۲- مدل ادرار

در مدل محاسباتی مورد بررسی، جریان ادرار به صورت جریان سیال گذرا در یک مجرای متقارن محوری با طول محدود درنظر گرفته شده است. همچنین، جریان سیال به صورت لایه‌ای، نیوتونی، لزج و تا حدی تراکم‌پذیر^{۱۸} فرض شده است تا مثانه پر بتواند تخلیه بولاس ادرار به درون خود را تحمل کند. در این نوع جریان، چگالی سیال تراکم‌پذیر به صورت زیر است:

$$\rho_m = \rho \left(1 + \frac{P}{k} \right) \quad (6)$$

که چگالی مبنای سیال در فشار صفر است. P فشار و k مدول بالک سیال (یک عدد ثابت بزرگ) است. از آنجا که جریان مورد بررسی ذاتاً تراکم‌ناپذیر است، در تمامی معادلات

ملايم‌اند^{۲۳} (همان‌گونه که در مدل محاسباتي ارائه شده مفروض است). در بيشتر مسائل تعماسي غير اصطاكاكي، روش تابع قيدي^{۲۴} نسبت به روش قطعه‌اي^{۲۵} روش مناسب‌تر است [۲۷] و به اين دليل در اين تحقيق از آن به عنوان الگوريتم حل مسئله تعماسي بهره‌گيري شد. با توجه به شرایط مسئله، از فرمول‌بندي تغيير مكانه‌اي تعماسي بزرگ در حل مسئله استفاده شد. شرایط تعماسي به‌گونه‌اي تعریف شد که به تداخل^{۲۶} بين اجزاي دیواره ميزنای و سطح تماس صلب در حين تحليل تعماسي اجازه داده نشد؛ به اين شكل که در صورت ايجاد تداخل، اجزاي درهم فرو رفته به مكان پيشينشان در گام زمانی گذشته بازگردانده می‌شوند. سطح تعماسي صلب با استفاده از قطعات تعماسي خطی^{۲۷} گسته شد که هر قطعه شامل دو گره است. تلرانس كتربل انطباق گره‌اي^{۲۸} برای گره‌های سطح تماس صلب^{۲۹} فرض شد.

۲-۵- روش حل محاسباتي برهمکنش سيال و جامد FSI

برای حل مسئله عددی مورد بررسی از روش برهمکنش سيال و جامد استفاده شد. روش حل به اين گونه است که پس از چند گام زمانی از حل گذرا و در زمان $s = t$ ^{۳۰} که جريان پايه‌ي بين کليه و مثانه به دليل اختلاف فشار اعمالي (فاز سازوکار غير دودي شكل) ايجاد می‌شود؛ سطح تعماسي صلب در راستاي طولي با سرعت متوسط فيزيولوژيکي انتشار موج دودي شكل در ميزنای (حدود ۲ cm/s) حرکت داده شد. در فاز سازوکار غير دودي شكل انتقال ادرار (در اين فاز، جريان پايه در ميزنای به دليل اختلاف فشار بين کليه و مثانه برقرار است) و پيش از تحريک دیواره برای ايجاد موج دودي شكل، ۱۰ گام زمانی به بزرگى $s = 0/1$ فرض شد و ۱۵۰۰ گام زمانی به بزرگى $s = 0/۱$ در حين سازوکار دودي شكل درنظر گرفته شد. اين مدل با استفاده از نرم افزار ادینا (ADINATM, version 8.5.1, Watertown, MA) حل شد. دقت و توانايهای اين نرم افزار تخصصي در تحليل مسائل برهمکنش سيال و جامد مشابه بسياري، توسط نويسنده‌گان اين مقاله مورد بررسی قرار گرفته است [۱۱-۱۴].

۲-۳- شرایط مرزی تعادلى^{۳۱} برهمکنش سيال - جامد
شرایط تعادل در مرز سيال و جامد عبارت‌اند از شرط سينماتيکي:

$$d_f = d_s \quad (16)$$

و شرط تعادل ديناميکي:

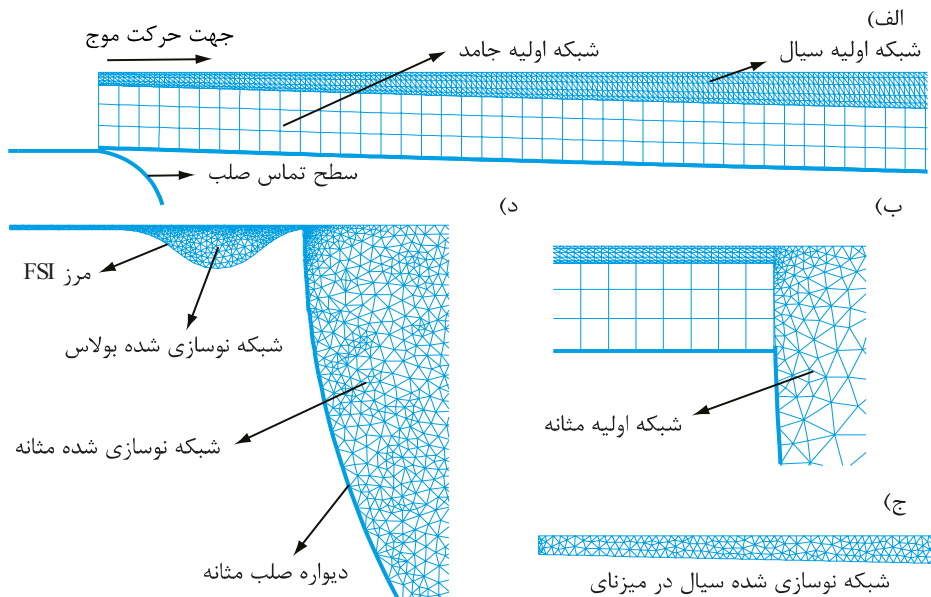
$$n_f \cdot \tau_f = -n_s \cdot \tau_s \quad (17)$$

که در اين معادله‌ها، d بردار تغيير مكان و n بردار واحد عمود بر سطح است و انديسه‌اي τ و d به ترتيب به سيال و جامد FSI مربوط می‌شوند. فرمول‌بندي ديريكله - نيومن^{۳۲} در مسئله مورد بررسی اعمال شد؛ به اين صورت که معادلات سيال به‌ازاي سرعت به‌دست آمده در مرز سيال و جامد حل شد؛ در حالی که تنشي بر مرز سيال و جامد در دامنه جامد اعمال شد. در فرمول‌بندي ديريكله-نيومن، شرایط سينماتيکي (معادله ۱۶) بر مرز بدون لغزش سيال و جامد به صورت زير است:

$$v_f = d_s \quad (18)$$

۲-۴- تحليل تعماسي برای ايجاد تحريک دودي شكل در ميزنای

شرایط فيزيولوژيکي انتشار موج دودي شكل در ميزنای به‌گونه‌اي است که اين موج به طور پيوسته و سلول به سلول از محل تحريک به سمت مثانه منتشر می‌شود. برای تحريک سلول به سلول (گره به گره در مدل محاسباتي) دیواره ميزنای برای ايجاد موج دودي شكل از يك سطح تعماسي صلب استفاده شد که در شكلهای (۱) و (۳-الف) نشان داده شده است. اين سطح تماس صلب در ابتدا (به عنوان شرایط اوليه) در تماس با دیواره بيرونی ميزنای قرار داده شد. حرکت طولي اين سطح صلب به موازات محور ميزنای باعث پيش راندن بولاس ادرار اوليه تشکيل يافته در ابتداي ميزنای، می‌شود، شكل (۱). برای مدل‌سازی برهمکنش ديناميکي بين مرز سطح صلب و دیواره خارجي ميزنای، شرایط تعماسي بين آنها تعریف شد. تحليل تعماسي غير اصطاكاكي درنظر گرفته شد که روش کم هزينه‌تری نسبت به تحليل اصطاكاكي است و قطبي که سطوح تعماسي



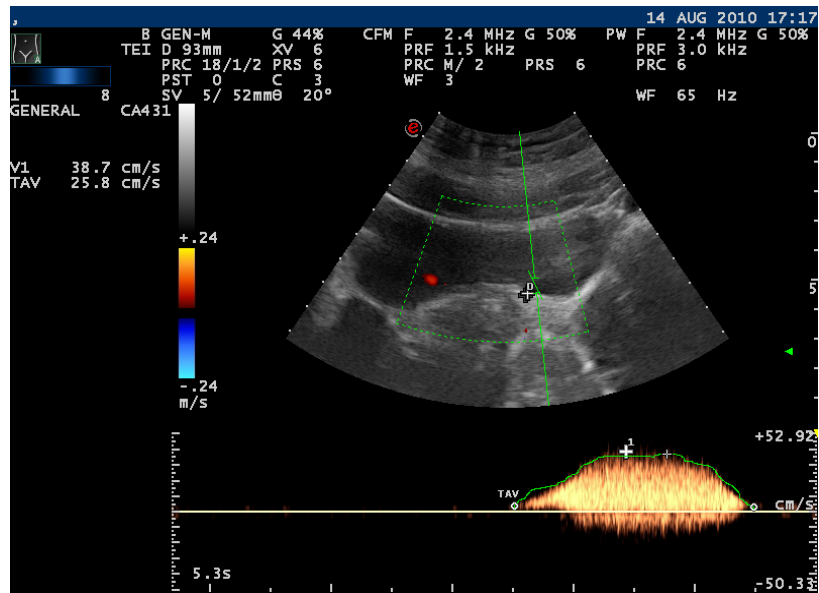
شکل ۳- شبکه محاسباتی مدل. موج دودی شکل از چپ به راست حرکت می کند؛ (الف) شبکه اولیه سیال و جامد در ورودی میزنای؛ (ب) شبکه اولیه سیال و جامد در خروجی میزنای؛ (ج) شبکه نوسازی شده سیال در خروجی میزنای؛ (د) شبکه نوسازی شده سیال در خروجی میزنای در هنگام تخلیه بولاس ادرار به مثانه و (e) شبکه نوسازی شده سیال در خروجی میزنای در هنگام تخلیه بولاس ادرار به مثانه.

این روش به تحقیقات بتنه در این زمینه [۲۸] رجوع شود. همان‌گونه که پیشتر اشاره شد، معادلات بقای اندازه حرکت ناویر استوکس همراه با معادله پیوستگی بقای جرم، معادلات حاکم بر سیال‌اند. با تغییر شکل شبکه، عبارتهای اضافی در این معادلات ایجاد می‌شود که سرعت جابه‌جایی^{۳۱} را با سرعت نسبی^{۳۲} جابه‌جایی می‌کند و بدین ترتیب فرمول بندی لگرانژی-اویلری دلخواه^{۳۳} را می‌سازند.

از روش تکرار نیوتونی برای حل گر ماتریسی تنک^{۳۴} استفاده شد و تلرانس درجات آزادی ۰/۰۰۵ فرض شد. این مدل از طریق حل همزمان^{۳۵} معادلات جامد و سیال حل شد. این روش، مشکلات همگرایی همراه با حل تکراری^{۳۶} (که ابتدا معادلات جامد و سپس معادلات سیال حل می‌شوند) را ندارد؛ گرچه روش حل همزمان، به حافظه رایانه‌ای بیشتری احتیاج دارد تا بتواند ماتریسهای بزرگ تنک را معکوس کند. زمان حل بر روی یک رایانه سرور با مشخصات: پردازشگر Intel Xeon (TM) با پردازشگر ۶۴ بیتی GHz ۳ به همراه حافظه اصلی ۱۶ GB، تقریباً ۹ روز به طول انجامید.

تحلیل استقلال از شبکه در مدل‌های سیال و جامد به‌طور جداگانه صورت پذیرفت. به این نحو که سرعت/فشار سیال و تنش/تغییر مکانها در جامد با شبکه‌های درشت‌تر و ریزتر آزموده شد؛ به‌طوری‌که نتایج حل عددی از توزیع گره‌های شبکه مستقل باشد. پس از انجام بررسیهای مربوط به استقلال حل عددی از شبکه محاسباتی، دامنه سیال با ۴۰۹۱۷ جزء مثلثی دو بعدی متقارن محوری سه گره‌ای سیال گستته شد. همچنین دامنه جامد با ۳۰۰۰ جزء مربعی دو بعدی نه گره‌ای گستته شد. شبکه‌های محاسباتی سیال و جامد در شکل (۳) نشان داده شده است.

در محدوده سیال از روش نوسازی شبکه^{۳۹} استفاده شد که با ریز و درشت کردن شبکه محاسباتی حین حل، تأثیر قابل توجهی در همگرایی مسئله دارد. به‌ویژه این‌که در مسئله حاضر که محدوده سیال تغییر شکلهای بزرگ را تجربه می‌کند، لزوم به‌کارگیری این الگوریتم اهمیت دوچندانی می‌یابد. این روش در مسائل دو بعدی و متقارن محوری با ایجاد شبکه آزاد^{۳۰} با اجزای مثلثی امکان‌پذیر است. برای جزئیات بیشتر در خصوص



شکل ۴- نمونه‌ای از تصاویر سونوگرافی که در آن جت ادرار حاصل از انتقال بولاس ادرار در میزنانی در حال تخلیه به مثانه است. پروفیل سرعت ادرار و مقادیر بیشینه و متوسط آن در نزدیکی محل ورود ادرار به میزنانی در درون مثانه (ثبت شده به فاصله تقریبی ۱ mm از محل اوریفیس محل اتصال مثانه به میزنانی)، در این تصویر نمایان است.

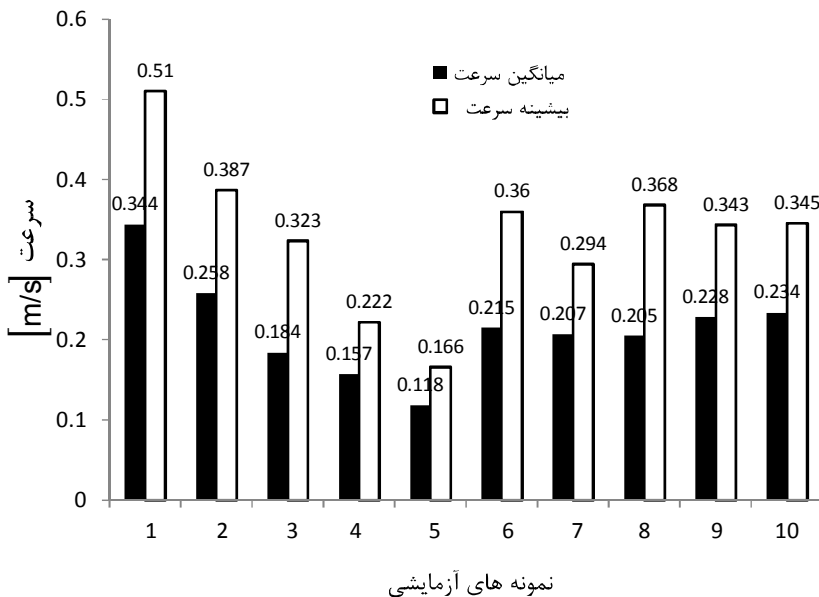
ضریبان^{۴۰} (۱۵۰۰ Hz)، تقویت مناسب دریافت کننده^۱ و برونداد مناسب^{۴۲} استفاده شد. همچنین فیلتر دیواره‌ای^{۴۳} ۵۰–۱۰۰ Hz درنظر گرفته شد. جریان به سمت مبدل با رنگ قرمز مشخص شد. مثانه در صفحه عرضی^{۴۴} در سطح ناحیه تریگون^{۴۵} (تریگون ناحیه مثلثی صافی^{۴۶} در ورودی مثانه است که از دو اوریفیس میزنانی^{۴۷} و اوریفیس ورودی پیشاپراه^{۴۸} تشکیل شده است). مورد آزمایش قرار گرفت. هر ۱۰ داوطلب مورد آزمایش نوشانه شد. مثانه در محل اندازه گیری مذکور ثبت شد. نمونه‌ای از این تصاویر در شکل (۴) و مقادیر سرعتهای متوسط و بیشینه تمامی آزمایشها در شکل (۵) آورده شده است.

۳- نتایج

در این تحقیق، یک مدل نوین محاسباتی ارائه شده است که سازوکار غالباً انتقال ادرار در میزنانی از طریق امواج دودی‌شکل (انتقال بولاس ایزوله ادرار) را شبیه‌سازی می‌کند. همچنین در این تحقیق برای نخستین بار با استفاده از اطلاعات

۲-۶- روش تصویربرداری رنگی سونوگرافی^{۳۷} از ابتدای مثانه در حین تخلیه بولاس ادراری ایجاد شده با سازوکار دودی‌شکل

سونوگرافی داپلر رنگی^{۳۸} از جریان جت خروجی از میزنانی ۱۰ مرد سالم (در محدوده سنی ۲۰ تا ۴۰ سال) انجام شد. با توجه به اینکه در هنگام آزمایش برای وضوح تصویر، مثانه نباید خالی باشد؛ به داوطلبین راهنمایی شد که در صبحگاه روز آزمایش، تخلیه ادرار کامل صورت نگیرد. از آن هنگام تا زمان انجام آزمایش، به دفع ادرار جزیی در صورت ضرورت اجازه داده شد. بهمنظور اطمینان از پر بودن مثانه قبل از انجام آزمایش، به داوطلبین در بازه زمانی بین ۱ تا ۲ ساعت، ۲ لیتر آب نوشانده شد. پس از نوشیدن این مقدار آب و پیش از تخلیه کامل ادرار از مثانه، آزمایش داپلر رنگی از جت بولاس ادراری در ابتدای میزنانی انجام شد. همه آزمایش‌های سونوگرافی داپلر (esaote.mylab 70-xvg) با یک دستگاه تجاری در دسترس (esaote.mylab 70-xvg) دارای یک مبدل جریان آرایه-مرحله‌ای شده^{۳۹} انجام شد. برای بهینه‌سازی کیفیت تصویر خروجی، فرکانس پایین تکرار



شکل ۵- نتایج سرعت جت ادرار (مقادیر متوسط و بیشینه) ثبت شده به فاصله تقریبی 1 mm از محل اوریفیس محل اتصال مثانه به میزنای در داخل میزنای از طریق سونوگرافی فرا صوت داپلر رنگی.

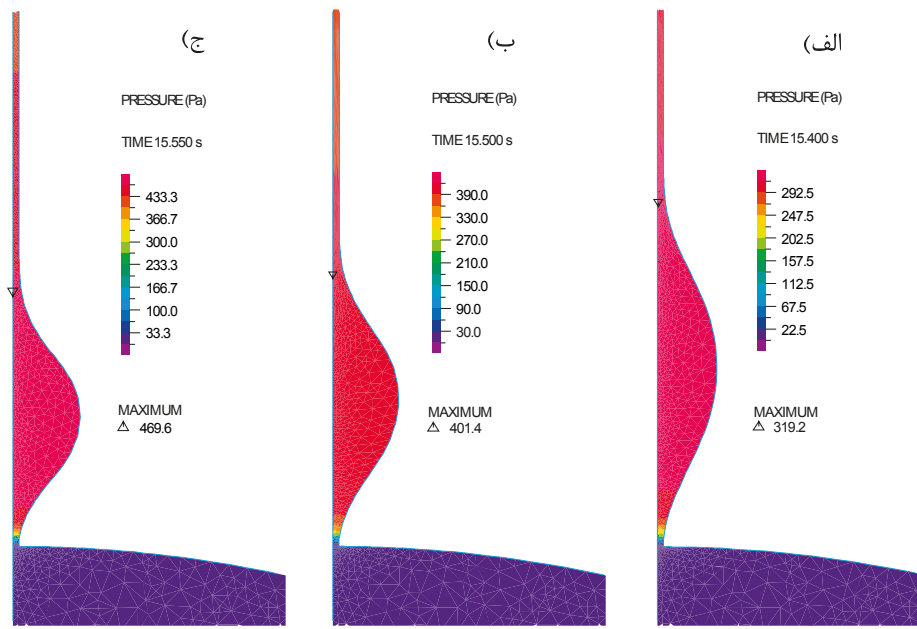
پروفیل سرعت آنی ادرار، مقدار $0/332\text{ m/s}$ حاصل شد. نتایج به دست آمده از حل عددی در خصوص توزیع فشار ادرار در میزنای در حین سازوکار دودی شکل، شکل (۶) نشان داد که همواره مقدار بیشینه فشار در مجرأ پشت بولاس در حال حرکت ایجاد می شود. با نزدیک شدن بولاس ادرار به مثانه، مقدار این فشار تا اندازه 496 Pa افزایش می یابد که تقریباً ۵ برابر فشار ورودی میزنای است. با مقایسه پروفیلهای فشار در مجرأ روشن شد که در انتهای سازوکار دودی شکل در میزنای که بولاس ادراری نزدیک مثانه است، گرادیانهای فشار محسوستری در فاصله بین انتهای بولاس تا خروجی مجرأ مشاهده می شود.

توزیع سرعت ادرار در میزنای و مثانه در حین انتشار موج، شکل (۷) نشان داد که در هنگام تخلیه بولاس ادرار به مثانه، بیشینه سرعت ادرار در مقطع خروجی میزنای به مقدار $0/75\text{ m/s}$ می رسد. همچنین، در نواحی نزدیک قله بولاس (رأس دوک)، جریان گردابی مشاهده می شود (ناحیه بنفس رنگ داخل بولاس در شکلهای (۷-الف) و (۷-ب) که مقدار سرعت محوری منفی را در این نواحی نشان می دهد). بردارهای سرعت

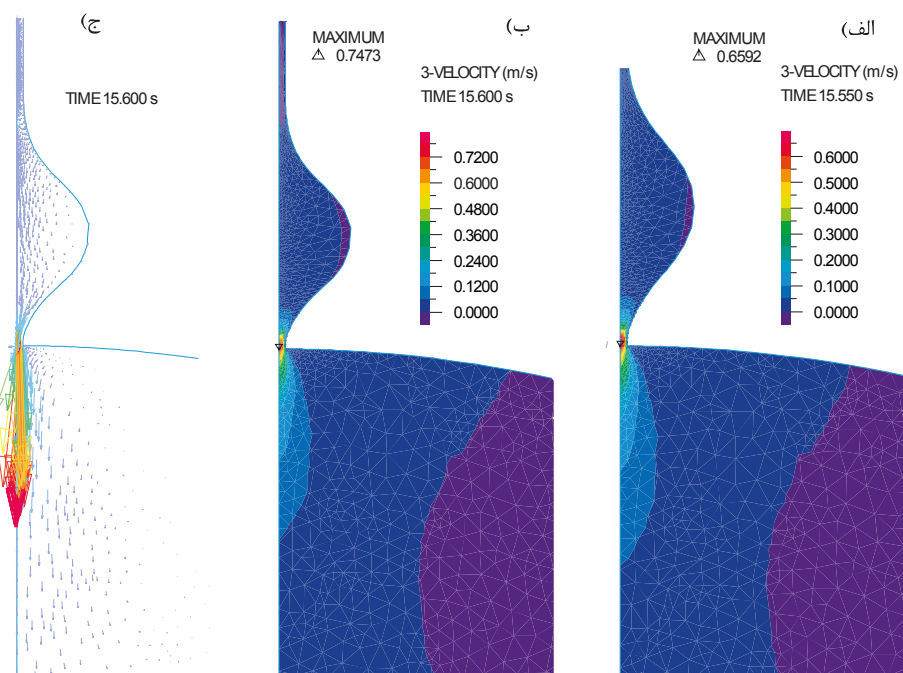
حاصل از تصویربرداری سونوگرافی در داخل مثانه انسان، نتایج حاصل از شبیه سازی عددی سازوکار دودی شکل در سیستم دفع ادرار، اعتبارسنجی شد. هدف اصلی این تحقیق، بررسی برهمکنش دینامیکی ادرار و دیواره میزنای در طی انتشار موج دودی شکل و تحلیل جریان ادرار در میزنای و مثانه و بررسی پدیده بازگشت ادرار از میزنای به کلیه است.

۳-۱- بررسی توزیع فشار و سرعت در میزنای و سرعت جت ادرار در خروجی میزنای و داخل مثانه

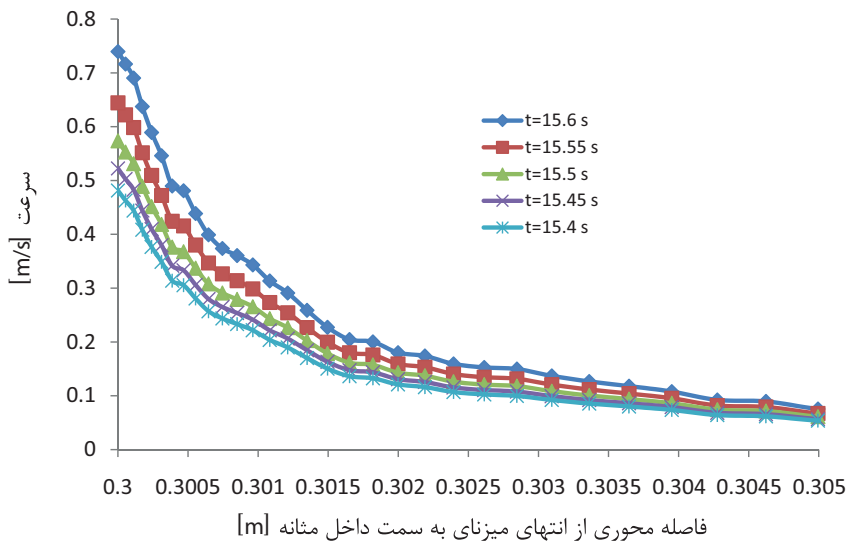
نتایج حاصل از تصاویر سونوگرافی، شکلهای (۴) و (۵) نشان داد که مقدار میانگین پروفیل سرعت در فاصله تقریبی 1 mm از خروجی میزنای و در داخل مثانه ($x=1\text{ mm}$) در 10 m/s مورد آزمایش، بین مقادیر کمینه و بیشینه به ترتیب نمونه موردنی نشان داد. از داده های شکل (۵) مشخص است که مقدار میانگین حاصل از پروفیل آنی سرعت، مقدار $0/118\text{ m/s}$ و $0/344\text{ m/s}$ تغییر می کند و با میانگین گرفتن از $0/215\text{ m/s}$ به دست آمد. از داده های شکل (۵) مشخص است که مقدار بیشینه پروفیل سرعت در محدوده $0/166\text{ m/s}$ و $0/510\text{ m/s}$ قرار دارد. با میانگین گرفتن از $0/510\text{ m/s}$ مقدار بیشینه



شکل ۶- توزیع فشار اطراف بولاس در حال تخلیه به مثانه در زمانهای انتهایی سازوکار دودی‌شکل در میزنانی. موج دودی‌شکل از بالا به پایین (کلیه به مثانه) در حرکت است.



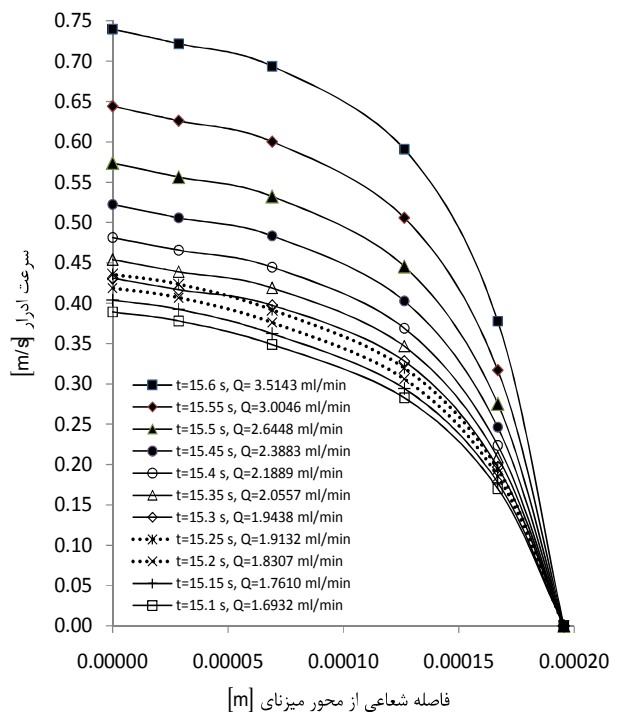
شکل ۷- توزیع مقدار و بردار سرعت ادرار اطراف بولاس در حال تخلیه به مثانه؛ (الف) در زمان $t=15/6\text{ s}$ ؛ (ب) در زمان $t=15/55\text{ s}$ ؛ (ج) بردارهای سرعت ادرار در انتهای میزنانی و در داخل مثانه در زمان $t=15/6\text{ s}$ (طول پیکان متناسب با اندازه آن است).



شکل ۸- توزیع سرعت محوری ادرار روی محور مرکزی میزانی در زمانهای انتهایی سازوکار دودی شکل در میزانی که جت ادرار در حال تخلیه به مثانه است. این مقادیر با داده‌های حاصل از آزمایش‌های بالینی سونوگرافی، شکلهای (۴) و (۵) قابل مقایسه است.

ادرار در میزانی و مثانه نیز در شکل (۷-ج) آورده شده است که جریان ادرار را در این نواحی با حساسیت نسبی بیشتری در مقایسه با شکلهای (۷-الف) و (۷-ب) آشکار می‌کند. در شکل (۸) مقادیر سرعت ادرار روی محور مرکزی مثانه در زمانهای انتهایی سازوکار دودی شکل در میزانی که جت ادرار در حال تخلیه به مثانه است، آمده است. این مقادیر با داده‌های حاصل از آزمایشات بالینی سونوگرافی، شکلهای (۴) و (۵) قابل مقایسه است. نتایج نشان می‌دهند که در زمان $t=15.6\text{ s}$ که بیشینه دبی ادرار خروجی از میزانی اتفاق می‌افتد، با دور شدن از مقطع خروجی میزانی و روی محور مرکزی مثانه به میزان $x=5\text{ mm}$ ($x=5\text{ mm}$ ، سرعت ادرار به میزان $9/82$ برابر کاهش می‌یابد. همچنین، سرعت بیشینه جت ادرار خروجی از میزانی در داخل مثانه و روی محور مرکزی مثانه به فاصله 1 mm ($x=1\text{ mm}$ محل اندازه‌گیری بالینی)، 35% کاهش می‌یابد.

در شکل (۹) اندازه سرعت ادرار در مقطع خروجی میزانی در زمانهای انتهایی سازوکار دودی شکل که جت ادرار در حال تخلیه به مثانه است، نشان داده شده است. برای محاسبه دبی ادرار در ورودی و خروجی میزانی، سرعت جریان ادرار در



شکل ۹- توزیع سرعت محوری ادرار در مقطع خروجی میزانی در زمانهای انتهایی سازوکار دودی شکل که جت ادرار در حال تخلیه به مثانه است. مقادیر دبی محاسبه شده حاصل از این توزیع سرعت در نرم افزار متلب نیز در نمودار مشخص است. مقدار میانگین دبی خروجی ادرار در $2/267\text{ ml/min}$ در 5° s مورد بررسی، به دست آمد.

این مقطع به صورت پیوسته بازگشت جریان دیده نشد؛ به این نحو که در حین انتشار موج، جریان اندکی بین مقادیر مثبت (جریان به سمت مثانه) و منفی (جریان به سمت میزنای) در نوسان است. با نزدیک شدن توده بولاس ادرار به مثانه که جت پر سرعت ادرار را دربرمی‌گیرد، جریان بازگشته در خروجی میزنای (از مثانه به میزنای) نیز به کلی از بین می‌رود.

۴- بحث

در این تحقیق، تحلیل عددی جریان در میزنای و مثانه به دو روش ۱) برهمکش سیال و جامد و ۲) سونوگرافی صورت پذیرفت. نتایج به دست آمده از دو روش، تطابق خوبی دارند و با تحقیقات نظری [۱۰] و [۲۹] گذشته در این زمینه نیز همخوانی دارند که در ادامه با جزئیات مورد بررسی قرار می‌گیرند.

همان‌گونه که در بخش نتایج به آن اشاره شد، با بررسی داده‌های حاصل از آزمایشات تصویربرداری سونوگرافی، شکلهای (۴) و (۵) و با میانگین گرفتن از ۱۰ مقدار بیشینه آنی پروفیل سرعت، مقدار $m/s = ۳۳۲$ حاصل شد. مقدار متناظر بیشینه آنی سرعت ادرار از نتایج مدل عددی، شکل (۸) در زمان $s = ۱۵/۶$ تقریباً $m/s = ۳۳$ به دست آمد که در شکل (۸) به فاصله ۱ mm از خروجی میزنای ($x=1$ mm) قابل مشاهده است. به علاوه، این مقدار بیشینه در فاصله $s = ۱۵/۴$ و $s = ۱۵/۶$ با میانگین گیری از داده‌های لحظه‌ای این شکل در فاصله مزبور، $m/s = ۲۶۷$ به دست آمد. البته به دلیل تفاوت‌های آناتومیکی احتمالی نمونه‌های آزمایشی با یکدیگر و نیز با مدل محاسباتی، ماهیت دینامیکی و لحظه‌ای بودن تخلیه بولاس ادرار و نیز عدم قطعیت از محل دقیق اندازه‌گیری از داخل مثانه در تصویربرداری سونوگرافی با رزولوشن $mm = ۰/۵$ ، انتظار دقت بسیار زیادی از نتایج نمی‌رود. ولی آنچه در این مقایسه مهم جلوه می‌کند، علاوه بر تطابق کیفی نتایج، محدوده اعداد متناظر در دو روش است. با مقایسه مقادیر میانگین سرعتهای لحظه‌ای

گره‌های واقع بر مقاطع ورودی و خروجی در زمانهای مختلف استخراج شد. سپس، با نوشتن برنامه‌ای در نرم افزار متلب^۴، از این مقادیر سرعت، تابعی درجه ۴ عبور داده شد تا پروفیل سرعت در آن مقطع را با تقریب مناسبی بدهد و طبق معادله زیر دبی ادرار در آن مقطع از داده‌های هندسه متقارن محوری مسئله مورد بررسی به دست آمد:

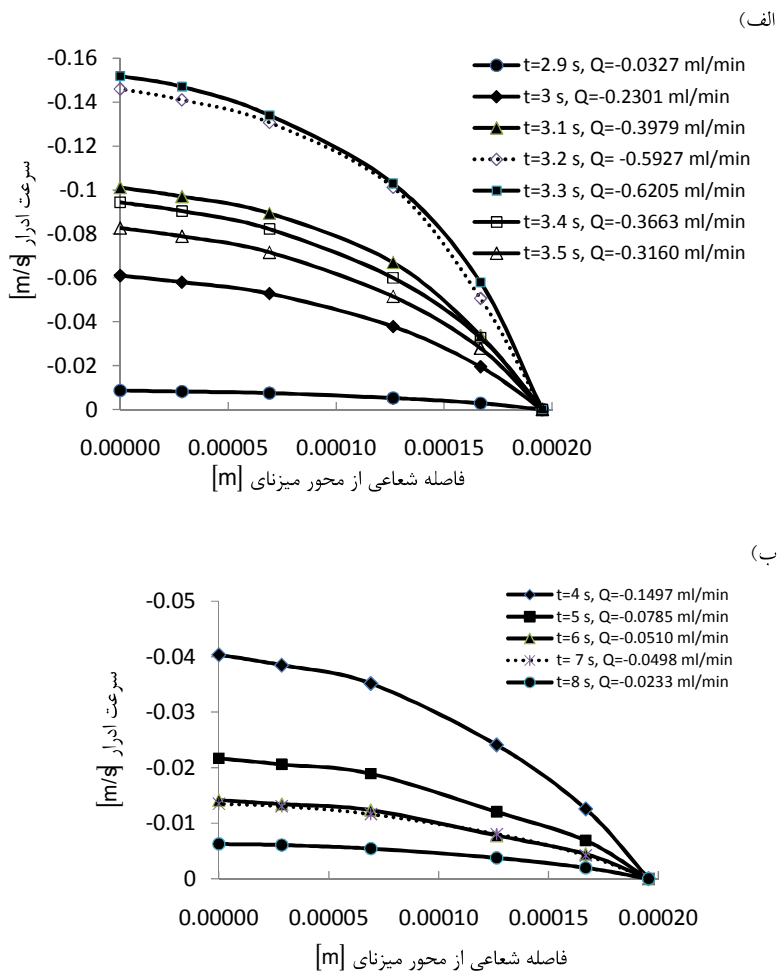
$$Q = 2\pi \int_0^{0.000195489} r V_r dr \quad (19)$$

که در این معادله، r تغییرات شعاعی مقطع و V_r سرعت ادرار در آن راستاست. با توجه به مقادیر دبی محاسبه شده حاصل از این توزیع سرعت، بیشینه آنی دبی حجمی تخلیه شونده به مثانه، $ml/min = ۳/۵$ به دست آمد. مقدار میانگین دبی خروجی آنی ادرار در بازه زمانی $s = ۵/۰$ مورد بررسی از لحظات تخلیه ادرار، $ml/min = ۲/۲۶۷$ به دست آمد.

۳- ۲- بررسی رفلکس جریان ادرار میزنای به کلیه^۵ و از مثانه به میزنای^۶

بررسی جریان در ورودی میزنای حین انتشار موج دودی‌شکل نشان داد که با آغاز این سازوکار و مدتی پس از آن $۱/۹s$ (پس از شروع این سازوکار)، جریان بازگشته به سمت کلیه آغاز می‌شود. با پیشرفت موج، مقدار رفلکس ادرار (جریان بازگشته) ابتدا روند افزایش یابندهای دارد و در زمان $s = ۳/۳$ به $۲/۳s$ (پس از آغاز انتشار موج) بیشترین دبی جریان بازگشته اتفاق می‌افتد، شکل (۱۰-الف). پس از این زمان و با دور شدن موج از ورودی، از میزان دبی جریان بازگشته کاسته می‌شود، شکل (۱۰-ب). در نهایت، این اثر با نزدیک شدن بولاس به مثانه از بین می‌رود؛ یعنی در زمانهای پایانی سازوکار دودی‌شکل در میزنای، جریان بازگشته به سمت کلیه وجود ندارد.

نتایج به دست آمده از جریان ادرار در خروجی میزنای نشان داد که در حین انتشار موج و پیش از رسیدن آن به نزدیکی مثانه، به دلیل تغییرات فشار محلی در انتهای جمع شده میزنای (ایجاد گرادیان فشار معکوس)، مقدار کمی بازگشت ادرار از مثانه به میزنای با ترخی در حدود $ml/min = ۰/۱$ مشاهده شد که البته در



شکل ۱۰- نمودار سرعت و دبی متناظر جریان بازگشتی از میزنای به کلیه در ابتدای سازوکار دودی شکل؛

الف) شروع رفلaks را نشان می‌دهد که سرعت بازگشت ادرار ابتدا در حال افزایش است. ب) رفلaks ادرار با پیشرفت موج دودی شکل به سمت مثانه روند کاهشی دارد.

در بازه زمانی کوتاهی (در مرتبه دهم ثانیه) که تخلیه ادرار صورت می‌گیرد، مقدار $2/267 \text{ ml/min}$ به دست آمد. این اندازه در محدوده مقادیر دبی گزارش شده از تحقیقات بالینی [۸] و نظری [۱۰] مربوط به سازوکار انتقال بولاس ایزوله ادرار قرار دارد. به طور خاص، اولین [۸] با اندازه‌گیری بالینی بر روی ۸ سیستم دفع ادرار انسان گزارش کرد که دبی حجمی خروجی میزنای انسان در اثر تخلیه بولاس ایزوله، معمولاً بین $2/45 \text{ ml/min}$ و $2/65 \text{ ml/min}$ ریاضی گرفیت از انتقال بولاس ادراری [۱۰] نشان داد که دبی جریان بولاس ایزوله (حد بالای ذاتی 5° میزان دبی منتقل شونده

در روزهای عددی کوتاهی (در مرتبه دهم ثانیه) که تخلیه ادرار صورت می‌گیرد با مقادیر شکل (۵)، می‌توان تصویر دقیقتری از میزان تطابق نتایج عددی و سونوگرافی به دست آورد. توزیع فشار در میزنای حین سازوکار دودی شکل از نتایج حل عددی، شکل (۶)، همخوانی خوبی با یافته‌های وینبرگ [۲۹] دارد. وی در تحقیقاتش گزارش کرد که بیشینه فشار در مجرای منتقل کننده بولاس ایزوله ادرار، همواره پشت بولاس در حال حرکت ایجاد می‌شود.

با استفاده از داده‌های شکل (۹)، مقادیر میانگین دبی ادرار محاسبه شده از توزیع سرعت در مقطع خروجی میزنای در

هزینه محاسباتی بالا و شرایط همگرایی سخت با استفاده از روش برهمنکنش سیال و جامد اشاره کرد که عمدتاً به دشواری نوسازی شبکه در دامنه سیال (با توجه به تغییر شکلها) بسیار بزرگ شبکه حین حل) و نیز دشواریهای تحلیل تماسی غیرخطی در دامنه جامد مربوط می‌شود. در حوزه تصویربرداری سونوگرافی نیز با التفات به امکانات موجود، مشکلات معنابهی وجود دارد. به عنوان مثال، امکان اندازه‌گیری سرعت ادرار درون مجرای میزنای چه در شرایط انتقال بولاس ایزوله ادرار (به علت عدم حساسیت کافی دستگاه‌های سونوگرافی به قطر کم مجرأ در این شرایط) و چه در شرایطی که سازوکار دودی شکل در میزنای حضور ندارد (به علت سرعت کم ادرار در این حالت که در محدوده دقت اندازه‌گیری دستگاه‌های سونوگرافی قرار ندارد)، موجود نیست.

در راستای انجام تحقیقات آتی در این زمینه، مدل محاسباتی معرفی شده، برای مطالعه تأثیرات سیالات غیرنیوتی بر راندمان سازوکار دودی شکل نیز می‌تواند استفاده شود. این تأثیرات، توسط تران و همکاران [۱۹] با استفاده از روش مرزهای شناور^۰ گزارش شد. در نهایت، امید می‌رود که با پیشرفت در دو حوزه روش‌های محاسباتی و تصویربرداری دینامیکی از سیستم دفع ادرار^۱، بتوانیم با استفاده از تصاویر سه بعدی پزشکی (CT و MRI) هم به عنوان ورودیهای مسئله عددی و هم در ارزیابی نتایج آن، از ماهیت پیچیده و حیاتی سازوکار دودی شکل در میزنای با دقت بیشتری پرده‌برداری نماییم.

۵- نتیجه‌گیری

در مطالعه حاضر، جریان ادرار در میزنای و مثانه به دو روش شبیه‌سازی عددی (با استفاده از تحلیل برهمنکنش سیال و جامد) و بالینی (از طریق آزمایش‌های سونوگرافی) مورد ارزیابی قرار گرفته است. مزیت آمیختن علوم زیستی و محاسباتی این است که بین دقت علمی و قابلیت حل ریاضی این پدیده‌ها توافقی حاصل می‌شود. این مسئله از اهمیت ویژه‌ای در علوم زیست شناسی و پزشکی بخوردار است، جایی که فرایندها از

با جریان دودی شکل) در حدود ۲ ml/min به دست می‌آید. با این حال، وی گزارش کرد که مقادیر دبی و فشار ادرار زیاد نیز در بعضی شرایط فیزیولوژیکی خاص در میزنای محتمل است که بهندرت و در بازه‌های زمانی کوتاهی مشاهده شده است. با بررسی همزمان روند بازگشت ادرار، شکل (۱۰-الف) و (۱۰-ب) و پروفیل فشار معgra حین انتشار موج به سمت مثانه، شکل (۶) علت افزایش اولیه و کاهش رفلaks در زمانهای بعدی مشاهده می‌شود. به این صورت که با شروع حرکت موج از نواحی ابتدایی میزنای، به تدریج در پشت بولاس متحرک میزان فشار ادرار افزایش می‌یابد که بر میزان فشار ورودی مجرأ غلبه دارد. در نتیجه، رفلaks آغاز می‌شود و مدامی که این فشار روند افزایشی دارد، مقدار رفلaks افزایش می‌یابد. با دور شدن موج از ورودی و کم شدن اثر اینرسی اولیه سیال که عامل اصلی ایجاد رفلaks است، از میزان بازگشت ادرار کاسته می‌شود.

یافته‌های ماهوئی و همکاران [۳۰] نشان داده است که بازگشت ادرار از محل لگنجه‌های کلیوی (در ابتدای میزنای) به داخل کلیه، عامل اصلی ایجاد زخم کلیه^{۵۳} است. البته در شرایط سازوکار طبیعی این عضو سیستم دفع ادرار و به علت وجود دریچه UPJ^{۵۴}، این پدیده ایجاد نمی‌شود. این دریچه از بافتهای ماهیچه‌ای با برآمدگی ساده^{۵۵} تشکیل شده است که به دلیل تحبد^{۵۶} سطح و بازشدگی در زگونه^{۵۷} شان، مانع نفوذ ادرار بازپس زده شده به داخل کلیه می‌شوند. مع الوصف، در این تحقیق با درنظر نگرفتن کارکرد فیزیولوژیکی این دریچه که در نوزادان و افراد دارای نقص مادرزادی (که بافت عضلانی در محل اتصال کلیه به میزنای دارای سطح صاف^{۵۸} یا مقرر^{۵۹} است)، اختلال شایعی است [۳۰]: اهمیت کارکرد این دریچه با داده‌های کمی وابسته به زمان از دبی ادرار بازگشتی، به روشنی نشان داده شده است.

شایان ذکر است با این حال که این تحقیق برای نخستین بار دو راهکار مدل‌سازی محاسباتی (FSI) و اندازه‌گیری بالینی (سونوگرافی) را در دستگاه دفع ادرار فوقانی با همدیگر مقایسه می‌کند؛ شامل محدودیتها بی نیز می‌شود. از آن جمله می‌توان به

بیشتری پس زده می‌شود، به طور کمی تبیین شد. حل عددی نشان داد که سرعت بیشینه جت ادرار خروجی از میزنای در ۱ mm داخل مثانه (محل اندازه گیری بالینی)، % ۳۵ کاهش یافت.

۶- قدردانی

نویسنگان مقاله، مراتب تشکر و امتحان خود را از آقای دکتر مهیار غفوری (دانشیار گروه رادیولوژی دانشگاه علوم پزشکی ایران) و آقای دکتر آیدین تقی‌لو (دستیار تخصصی رادیولوژی) که انجام آزمایشات بالینی و تهیه تصاویر و ویدیوهای سونوگرافی در بخش رادیولوژی بیمارستان رسول اکرم را بر عهده داشتند، ابراز می‌دارند.

مقیاسهای زمانی و ابعادی مختلفی تشکیل شده‌اند و تعاملات ذاتی پیچیده آنها برای عملکرد سازوکارهای زیستی ضروری است. امروزه، نیاز به همکاری قوی بین زیست‌شناسان کمی و دانشمندان علوم کاربردی و مهندسان، بدیهی شده است. مدل‌سازی و شبیه‌سازی، فضای خوبی را برای این همکاری مهیا ساخته است و ابزاری قوی در فهم سازوکارهای زیستی و رفتارشان فراهم می‌کند.

نتایج به دست آمده از این تحقیق بر نقش انکار ناپذیر تحلیل برهمکنش سیال و جامد در درک بهتر سازوکار دودی‌شکل در میزنای دلالت دارد. با بررسی تغییرات دینامیکی میزان بازگشت ادرار از میزنای به کلیه، اهمیت کارکرد فیزیولوژیک دریچه UPJ، به ویژه در ابتدای سازوکار دودی‌شکل که مقدار ادرار

واژه نامه

1. cell to cell	22. dirichlet-neumann	43. wall filter
2. pace maker	23. smooth	44. transverse plane
3. reflux	24. constraint function	45. trigone
4. isolated urine bolus	25. segment method	46. smooth triangular region
5. boluses in contact	26. penetration	47. ureteral orifice
6. leaky-bolus	27. linear contact segments	48. internal urethral orifice
7. open-tube flow	28. nodal coincidence checking	49. matlab
8. collapsed	29. adaptive mesh	50. ureteropelvic reflux
9. morphometric	30. freeform meshing	51. ureterovesical reflux
10. luminal	31. convective velocity	52. intrinsic upper limit
11. arruda-boyce	32. relative velocity	53. renal scar formation
12. non-gaussian	33. arbitrary- langrangian-eulerian	54. ureteropelvic junction
13. rubber	34. sparse matrix solver	55. simple papillae
14. statistical mechanics	35. simultaneous solution	56. convexity
15. chain density	36. iterated solution	57. slitlike opening
16. boltzmann's constant	37. colour doppler ultrasound sonography	58. flat
17. locking stretch	38. color doppler sonography	59. concave
18. slightly compressible	39. phased-array transducer	60. immersed boundary method
19. unit tensor	40. pulse-repetition	61. dynamic MRU
20. second viscosity	41. moderate receiver gain	
21. equilibrium	42. moderate output	

مراجع

1. Fung, Y. C., "Peristaltic Pumping: a Bioengineering Model, in: Boyarsky, S. Gottschalk, G. W., Tanagho, E. A., et al., eds., Urodynamics: Hydrodynamics of the Ureter and Renal Pelvis," New York: Academic press, pp. 189-198, 1971.
2. Griffiths, D. J., Constantinou, E. C., et al., "Dynamics of the Upper Urinary Tract: II. The Effect of Variations of Peristaltic Frequency and Bladder Pressure on Pyeloureteral Pressure/Flow Relations," *Phys. Med. Biol.*, Vol. 32, No. 7, pp. 823-833, 1987.
3. Bykova, A. A., and Regirer, S. A., "Mathematical models in Urinary System Mechanics," Review Article, *J. Fluid Mech.*, Vol. 40, No. 1, pp. 221-226, 2005.

4. Uehara, Y., and Burnstock, G., "Demonstration of Gap Junctions Between Smooth Muscle Cells," *J. Cell Biol.*, Vol. 44, pp. 215-217, 1970.
5. Eccles, M. R., "The Role of PAX2 in Normal and Abnormal Development of the Urinary Tract," *Pediatr. Nephrol.*, Vol. 12, pp. 712-720, 1998.
6. Bykova, A. A., Regirer, S. A., "Simple Model of Peristalsis in a Myogenically-Active Tube," *Euromech. Colloquium*, Vol. 389, Book of abstracts, Graz, pp. 68-69, 1999.
7. Ohlson, L., "Morphological Dynamics of Ureteral Transport I. Shape and Volume of Constituent Urine Fractions," *Am. J. Physiol.*, Vol. 256, pp. R19-R28, 1989.
8. Ohlson, L., "Morphological Dynamics of Ureteral Transport II. Peristaltic Patterns in Relation to Flow Rate," *Am. J. Physiol.*, Vol. 256, pp. R19-R28, 1989.
9. Griffiths, D. J., "Dynamics of the Upper Urinary Tract: I. Peristaltic Flow Through a Distensible Tube of Limited Length," *Phys. Med. Biol.*, Vol. 32, No. 7, pp. 813-822, 1987.
10. Griffiths, D. J., "Flow of Urine Through the Ureter: a Collapsible, Muscular Tube Undergoing Peristalsis," *the ASME J. Biomech. Eng.*, Vol. 111, pp. 206-211, 1989.
11. Vahidi, B., and Fatouraei, N., "Mathematical Modeling of the Ureteral Peristaltic Flow with Fluid Structure Interaction," *J. Biomech.*, Vol. 40, p. S223, 2007.
12. وحیدی، ب.، فتورائی، ن. و ایمان پرست، ع.، تحلیل عددی پارامترهای مؤثر بر جریان در یک مدل کامل میزانی با حرکت دودی شکل، مجله مهندسی پزشکی زیستی، دوره ۱(۲)، صفحات ۲۹-۳۸، ۱۳۸۷.
13. وحیدی، ب. و فتورائی، ن.، ارائه یک مدل مکانیکی برای تحریک پریستالتیک میزانی در انتقال ادرار از کلیه به مثانه، مجله استغلال (روش‌های عددی در مهندسی)، دوره ۲۸(۲)، صفحات ۱-۱۴، ۱۳۸۸.
14. Vahidi, B., Fatouraei, N., Imanparast, and A., Nasiraei-and Moghaddam, A., "A Mathematical Simulation of the Ureter: Effects of the Model Parameters on Ureteral Pressure/Flow Relations," *the ASME J. Biomech. Eng.*, Vol. 133, No. 3, p. 031004, 2011.
15. Woodburne, R. T., and Lapides, J., "The Ureteral Lumen During Peristalsis," *Am. J. Anat.*, Vol. 133, No. 3, pp. 255-258, 1972.
16. Jiménez-Lozano, J., "Peristaltic Flow with Application to Ureteral Biomechanics," PhD. Thesis in Mechanical Engineering, Notre Dame University, Indiana, USA, 2009.
17. Marieb, E. N., Mallatt, J., and Wilhelm, P. B., *Human Anatomy*, (5th ed.), Pearson International, chapter 23, p. 700, 2007.
18. Walker, S. W., and Shelley, M. J., "Shape Optimization of Peristaltic Pumping," *J. Comput. Phys.*, Vol. 229, PP. 1260-1291, 2010 Vol.
19. Teran, J., Fauci, and L., Shelley, M. J., "Peristaltic Pumping and Irreversibility of a Stokesian Viscoelastic Fluid," *Phys. Fluids.*, Vol. 20, PP. 073101-1 - 073101-11, 2008 .
20. Yin, F. C. P., and Fung, Y. C., "Mechanical Properties of Isolated Mammalian Ureteral Segments," *Am. J. Physiol.*, Vol. 221, No. 5, pp. 1484-1493, 1971.
21. Arruda, E. M., and Boyce, M., "A Three-Dimensional Constitutive Model for the Large Stretch. Behavior of Rubber Elastic Materials," *J. Mech. Phys. Solids*, Vol. 41, No. 2, pp. 389-412, 1993.
22. Zheng, H., "On the Predictive Capability and Stability of Rubber Material Models," Master of Science Thesis in Computation for Design and Optimization, Massachusetts Institute of Technology, 2008.
23. Bathe, K. J., *Finite Element Procedure*, Prentice Hall, 1996.
24. Arruda, E., and Boyce, M., "Constitutive Models of Rubber Elasticity: a Review," *Rubber chemistry and Technology*, Vol. 73, pp. 504-523, 2000
25. Treloar, L. R. G., "The Physics of Rubber Elasticity," Oxford University Press, 1975.
26. Ogden, R. W., *Non-linear Elastic Deformations*, Ellis Horwood Limited, 1984.
27. Bathe, K. J., ed., "Theory and Modeling Guide," Vol. I: ADINA, ADINA R & D, Inc., Watertown. 2008.
28. Bathe, K. J., and Zhang H., "A Mesh Adaptivity Procedure for CFD and Fluid-Structure Interactions," *Comput. Struct*, Vol. 87, pp. 604-617, 2009.
29. Weinberg, S. L., and Labay, P., "Ureteral Function. IV. The Urometrogram at Increased Urine Output," *Investig Urol (Berl)*, Vol. 14, pp. 307-311, 1977.
30. Mahoney, Z. X., Sammut, B., Xavier, R. J., et.al., "Discs-large Homolog 1 Regulates Smooth Muscle Orientation in the Mouse Ureter," *PANS*, Vol. 103, No. 52, pp. 19872-19877, 2006.